单季粳・糯稻品种对水稻条纹叶枯病的田间抗性比较

胡先文¹,孙俊铭²* (1.安徽省庐江县良种繁殖农场,安徽庐江 231551;2.庐江县植保植检站,安徽庐江 231500)

摘要 [目的]明确不同品种单季粳稻、糯稻对水稻条纹叶枯病的田间抗性。[方法]通过田间试验研究单季粳稻、糯稻品种对水稻条纹叶枯病的抗性。[结果]皖稻86、镇稻6号、皖稻68水稻条纹叶枯病发生较轻,田间抗性表现较好。[结论]该研究结果为单季粳、糯稻品种对水稻条纹叶枯病的田间抗性评价提供了理论依据。

关键词 水稻条纹叶枯病;抗性;单季粳稻;单季糯稻

中图分类号 S435.111.4 文献标识码 A 文章编号 0517-6611(2018)13-0144-02

Field Resistance Comparison on Single Season Japonica and Glutinous Rice Varieties to Rice Stripe Disease

HU Xian-wen¹, **SUN Jun-ming²** (1. Lujiang County Improved Variety Propagation Farm, Lujiang, Anhui 231551; 2. Lujiang County Plant Protection and Quarantine Station, Lujiang, Anhui 231500)

Abstract [Objective] The aim was to understand field resistance of single season japonica and glutinous rice varieties to rice stripe disease. [Method] The field resistance of single season japonica and glutinous rice varieties to rice stripe disease was studied. [Result] The rice stripe disease of Wandao 86, Zhendao 6 and Wandao 68 were lighter, so they had better field resistance. [Conclusion] The result provides theoretical basis for field resistant evaluation on single season japonica and glutinous rice varieties to rice stripe disease.

Key words Rice stripe disease; Resistance; Single season japonica rice; Single season glutinous rice

水稻条纹叶枯病是由水稻条纹叶枯病毒(Rice stripe virus,RSV)引起的,由灰飞虱(*Laodelphax striatellus* Fallen)传播的一种重要的水稻病毒病^[1-2]。近年来,安徽省水稻条纹叶枯病发生较重,尤其在单季粳稻、糯稻上发生严重^[3-4]。笔者研究了单季粳稻、糯稻不同品种对水稻条纹叶枯病的田间抗性,以期为水稻条纹叶枯病的防治提供借鉴。

1 材料与方法

- 1.1 材料 选择粳、糯稻常规品种、推广品种和预备品种 20 个,分别是武运粳 7 号、宁粳 3 号、皖稻 86、镇稻 6 号、镇稻 10 号、当育粳 2 号、宁粳 1 号、武育粳 20、武运粳 11、扬粳 4038、常农粳 5 号、津稻 1007、皖稻 90、皖稻 68 (糯稻)、连嘉粳 1 号、嘉花 1 号、镇稻 99、秀水 128、镇稻 8 号和镇稻 2 号 (糯稻)。
- 1.2 试验田概况 试验田设在安徽省庐江县良种繁殖农场内,为近年来水稻条纹叶枯病连续发病较重的地区;试验田地势平整,排灌方便,易于田间管理,肥力水平中等,质地中壤,pH5.0,有机质含量为19.3 mg/g,所有参试品种均安排在同一田块内;采用撒播法,于5月20日播种,播种量为75 kg/hm²,基肥施45%水稻专用肥(N:P:K=15:15:15)625 kg/hm²;各小区后期追肥、水层管理等其他栽培管理措施均一致。整个试验期间不防治水稻条纹叶枯病等水稻病害,病情稳定之前不防治灰飞虱,不使用对灰飞虱有防治效果的药剂。
- 1.3 试验设计 将 20 个品种种植在同一块田中,每个品种 3 次重复,共 60 个小区,随机区组排列,小区长 10 m、宽 4 m, 小区面积为 40 m^2 ,试验区四周设宽 2 m 的保护行。
- **1.4 调查方法** 分别于6月下旬(6月 26日,第1个发病高峰期)、7月上旬(7月 4日)、7月中旬(7月 18日)、8月上旬

作者简介 胡先文(1966-),男,安徽庐江人,助理农艺师,从事良种繁殖和植保技术研究与推广。*通讯作者,研究员,从事植保技术研究与推广。

及不研究与推广 **收稿日期** 2018 - 01 - 29 (8月6日)、8月中旬(8月20日,第2个发病高峰期病情稳定期)调查水稻条纹叶枯病病情。采取平行跳跃法取样,每个小区调查5点,每个点调查0.25 m²水稻,记载总株数和各级病株数,计算病株率和病情指数。水稻条纹叶枯病分级标准:0级,无症状;1级,叶片有轻微黄绿斑驳,病叶不卷曲,植株生长正常;2级,病叶上褪绿扩展相连成不规则黄白色或黄绿色条斑,病叶不卷曲或略有卷曲,生长基本正常;3级,病叶严重褪绿,病叶卷曲呈捻转状,少数病叶出现黄化枯萎症状;4级,大部分病叶卷曲呈捻转状,叶片黄花枯死,植株呈假枯心状或整株枯死^[5]。

2 结果与分析

- 2.1 不同品种田间病情消长动态 单季粳稻、糯稻不同品种田间水稻条纹叶枯病均出现 2 次明显的发病高峰,第 1 次在 6 月下旬,第 2 次在 8 月上、中旬(图 1、2)。 6 月下旬的发病高峰与灰飞虱第 1 代成虫在水稻秧苗期传毒有关,8 月上、中旬的发病高峰与灰飞虱第 2 代若虫和第 2 代成虫在水稻分蘖期传毒有关。
- 2.2 第1个发病高峰期不同品种间病情差异 试验结果表明,单季粳稻、糯稻不同品种间水稻条纹叶枯病病情差异较大(表1)。6月26日(第1个发病高峰期)调查,皖稻86、镇稻6号水稻条纹叶枯病发病较轻,平均病株率分别为4.05%、5.44%,平均病情指数分别为2.04、2.31;镇稻2号、嘉花1号、镇稻10号水稻条纹叶枯病发病较重,平均病株率分别为20.93%、20.45%、19.22%,平均病情指数分别为14.67、14.78、12.88,显著高于皖稻86、镇稻6号的病情。
- 2.3 第2个发病高峰期不同品种间病情差异 8月20日 (第2个发病高峰期)调查,皖稻86、镇稻6号水稻条纹叶枯病发病仍较轻,平均病株率分别为3.97%、4.67%,平均病情指数分别为3.29、4.04;常农梗5号、扬粳4038、宁粳1号、宁粳3号、皖稻68水稻条纹叶枯病发病较轻,平均病株率分别为1.57%、2.29%、3.13%、3.19%、3.42%,平均病情指数分

别为 1.09、1.96、2.38、2.59、2.69;皖稻 90、武运粳 7 号、当育 粳 2 号、武育粳 20 水稻条纹叶枯病发病较重,平均病株率分 别为 12.47%、12.33%、11.83%、11.49%,平均病情指数分别

为 10. 34、9. 16、9. 51、9. 16,显著高于皖稻 86、镇稻 6 号、常农 梗 5 号、扬粳 4038、宁粳 1 号、宁粳 3 号、皖稻 68 的病情 (表 1)。

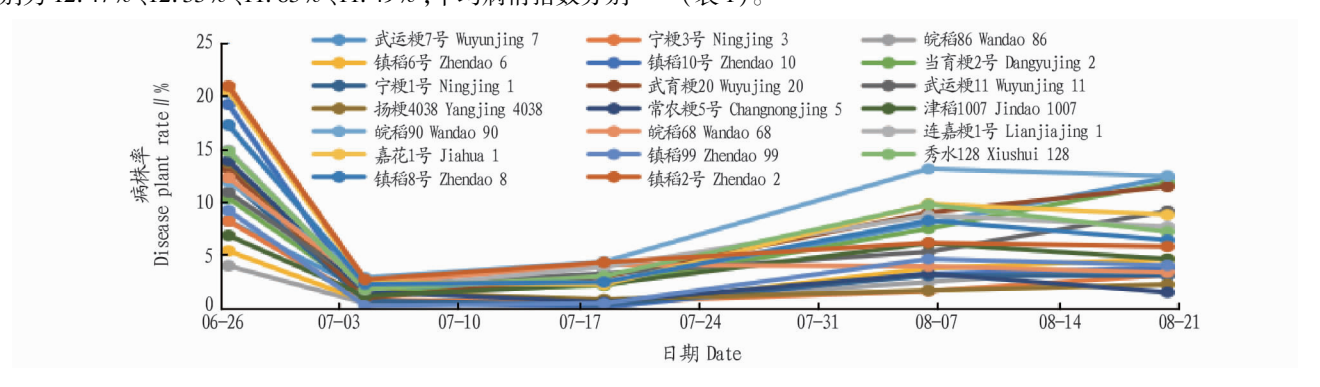


图 1 单季粳、糯稻不同品种水稻条纹叶枯病病株田间消长动态

Fig. 1 Field abatement dynamics of rice stripe disease plants of single season japonica and glutinous rice varieties

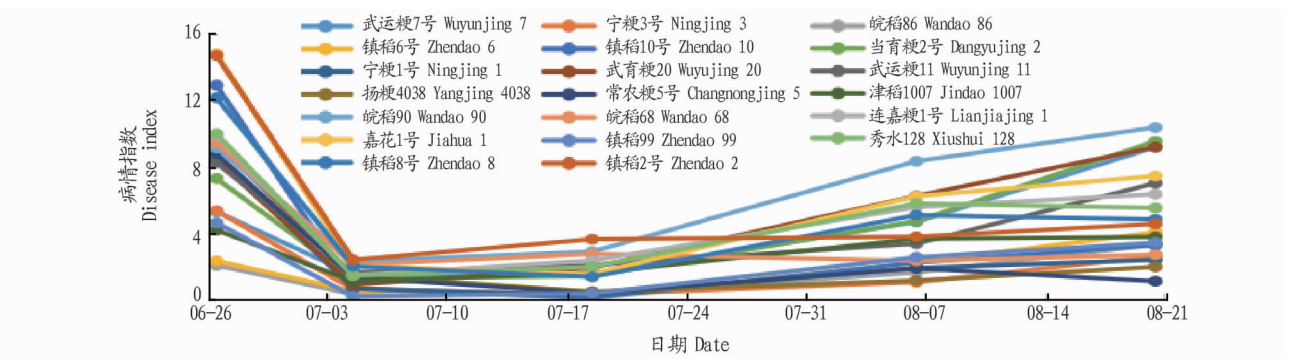


图 2 单季粳、糯稻不同品种水稻条纹叶枯病病指田间消长动态

Fig. 2 Field abatement dynamics of disease index of rice stripe disease of single season japonica and glutinous rice varieties 表 1 单季粳、糯稻品种对水稻条纹叶枯病田间抗性比较

Table 1 The field resistance of single season japonica and glutinous rice varieties to rice stripe disease

序号 No.	品种 Varieties	06-26(第1个发病高峰期)		08-20(第2个发病高峰期)	
		平均病株率 Average disease plant rate//%	平均病情指数 Average disease index	平均病株率 Average disease plant rate//%	平均病情指数 Average disease index
	武运粳7号	8.27 defABC	5.28 bcdABC	12.33 abA	9.16 abABC
2	宁粳3号	8.25 defABC	5.33 bcdABC	3.19 efgCD	2.59 efDE
3	皖稻 86	4.05 fC	2.04 dC	3.97 defgCD	3.29 cdefDE
1	镇稻6号	5.44 efC	2.31 dBC	4.67 defgBCD	4.04 cdefBCDE
5	镇稻 10 号	19.22 abcAB	12.88 abAB	3.86 defgCD	3.26 cdefDE
5	当育粳2号	10.40 cdefABC	7.27 abcdABC	11.83 abA	9.51 abAB
,	宁粳1号	12.21 abcdefABC	8.67 abcdABC	3.13 efgCD	2.38 efDE
3	武育粳 20	13.16 abcdefABC	8.40 abcdABC	11.49 abcAB	9.16 abABC
)	武运粳11	10.95 bcdefABC	8.22 abcdABC	9.17 abcdABC	6.99 abcdABCD
.0	扬粳 4038	13.71 abcdefABC	9.41 abcdABC	2.29 fgCD	1.96 efDE
.1	常农粳5号	13.91 abcdefABC	8.75 abcdABC	1.57 gD	1.09 fE
2	津稻 1007	6.90 efBC	4.17 cdABC	4.68 defgBCD	3.76 cdefBCDE
.3	皖稻 90	11.94 abcdefABC	9.11 abcdABC	12.47 aA	10.34 aA
4	皖稻 68	12.32 abcdefABC	9.41 abcdABC	3.42 efgCD	2.69 defDE
5	连嘉粳1号	14.93 abcdeABC	9.86 abcdABC	7.73 abcdeABCD	6.33 abcdeABCDE
16	嘉花1号	20.45 abA	14.78 aA	8.84 abcdABC	7.42 abcABCD
.7	镇稻 99	9.24 defABC	4.61 cdABC	4.09 defgCD	3.41 cdefCDE
8	秀水 128	14.80 abcdeABC	9.96 abcdABC	7.26 bcdefABCD	5.50 bcdeABCDE
9	镇稻8号	17.28 abcdABC	12.13 abcABC	6.47 cdefgABCD	4.81 cdefABCDE
20	镇稻2号	20.93 aA	14.67 aA	5.86 defgABCD	4.54 cdefBCDE

注:表中数据均为 3 次重复平均值;同列数据后不同大、小写字母分别表示处理在 0.01、0.05 水平差异显著

Note: The data was mean of three repeat; different capital letters and lowercase letters at the same column indicated significant differences at 0.01 and 0.05 level among treatments, respectively

3 结论与讨论

明显的发病高峰,第1个在6月下旬,第2个在8月上、中旬。

构特征指标为自变量(X),采用多元线性回归的方法分析多 糖不同组分的免疫调节活性与结构特征之间的关系,得到如 下线性回归方程:

$$Y_{\text{(NO)}} = 22.\ 191 + 1.\ 083 X_{\text{Glcpl4}} - 2.\ 879 X_{\text{Galpl}} + 13.\ 854 X_{\text{Manpl36}} \\ - 0.\ 007\ 04 X_{\text{Mw}} \tag{1}$$

$$Y_{(\text{TNF}-\alpha)} = 195.\ 525 + 136.\ 4X_{\text{Gal}} + 17.\ 169X_{\text{Clop14}} - 243.\ 623X_{\text{Manor136}}$$
 (2)

$$Y_{\text{(IL-1\beta)}} = 26.019 + 3.084X_{\text{Gal}} + 1.898X_{\text{Glep14}} - 4.366X_{\text{Glep146}}$$

$$Y_{(4)} = 0.328 + 9.71 \times 10^{-3} X_{Glep146} + 3.033 \times 10^{-2} X_{Manp136} - 4.59 \times 10^{-5} X_{Mw}$$
 (4)

由此可推测出,多糖对巨噬细胞 NO 产量的影响与多糖 1,4-D-Glcp 和 1,3,6-D-Manp 含量呈正相关,与 T-D - Galp 含量及分子量大小呈负相关;诱导巨噬细胞分泌 TNF $-\alpha$ 的活性与 Gal、1,4 - D - Glcp 含量呈正相关,与 1,3,6 -D-Manp 的含量呈负相关;诱导巨噬细胞分泌 IL-1β 的活 性与多糖的 Gal 及 1,4 - D - Glcp 的含量呈正相关,与 1,4, 6-D-Glcp 的含量呈负相关;刺激小鼠腹腔巨噬细胞吞噬功 能的活性与 1,4,6 - D - Glcp 和 1,3,6 - D - Manp 的含量呈 正相关,而与分子量大小呈负相关。

3 结论

霍山石斛多糖包含7种分子量和均一度各不相同的组 分,它们均由 Glc、Man 和 Gal 3 种单糖以 1,4 - D - Glcp、1,6 $-D - Glep_T - D - Galp_1.4.6 - D - Glep_1.3.6 - D - Manp$ 连接方式所组成,但各单糖及连接的糖苷键类型的组成比例 不同。不同组分多糖对小鼠腹腔巨噬细胞的免疫功能均具 有一定的调节作用,主成分分析表明,DHPw-2效果最好, DHP_w - 4 次之, DHP_w - 1 排名第 3, DHP_w - 7 的免疫调节作 用一般。多元线性回归分析结果表明,不同连接方式的糖苷

键含量和多糖的分子量对它们的免疫活性具有重要影响。

- [1] 包雪声,顺庆生,陈立钻.中国药用石斛[M].上海:复旦大学出版社, 2001
- [2] 秦霞,董海丽,刘红,响应面法优化霍山石斛多糖超声提取工艺[J].安 徽农业科学,2012,40(12):7065-7066.
- 黄森, 查学强, 罗建平, 等. Box Behnken 法优化提取霍山石斛活性多 糖的研究[J]. 中药材,2007,30(5):591-594.
- [4] LI F, CUI S H, ZHA X Q, et al. Structure and bioactivity of a polysaccharide extracted from protocorm-like bodies of Dendrobium huoshanense [J]. International journal of biological macromolecules, 2015, 72:664 - 672.
- [5] 查学强. 濒危名贵药用霍山石斛类原球茎液体培养生产活性多糖的研 究[D]. 合肥: 合肥工业大学, 2006.
- 袁晨琳. 霍山石斛多糖对巨噬细胞的免疫调节活性及其与结构特征的 关系[D]. 合肥: 合肥工业大学, 2013.
- [7] ZHA X Q,LUO J P,LUO S Z, et al. Structure identification of a new immunostimulating polysaccharide from the stems of Dendrobium huoshanense [J]. Carbohydrate polymers, 2007, 69(1):86 - 93.
- [8] YEH C H, CHEN H C, YANG J J, et al. Polysaccharides PS-G and protein LZ-8 from Reishi (Ganoderma lucidum) exhibit diverse functions in regulating murine macrophages and T lymphocytes [J]. Journal of agricultural and food chemistry, 2010, 58 (15); 8535 - 8544.
- [9] 田维毅,王文佳,李海峰,等.中性红法检测巨噬细胞吞噬功能的实验 条件的优化[J]. 贵阳中医学院学报,2009,31(2):23-26.
- [10] LEE K Y, JEON Y J. Macrophage activation by polysaccharide isolated from Astragalus membranaceus [J]. International immunopharmacology, 2005,5(7/8):1225-1233.
- [11] 杨兴斌,梅其炳,周四元,等. 当归多糖对小鼠腹腔巨噬细胞释放细胞 效应分子的诱导作用[J]. 细胞与分子免疫学杂志,2004,20(6):747 -
- [12] 姚金凤,王志新,张晓勇,等. 黄芪多糖对小鼠腹腔巨噬细胞免疫功能 的调节作用研究[J]. 河南大学学报(医学版),2005,24(1):34-36.
- [13] CHOI E M, HWANG J K. Enhancement of oxidative response and cytokine production by yam mucopolysaccharide in murine peritoneal macrophage [J]. Fitoterapia, 2002, 73(7):629 - 637.
- [14] SONG J Y, HAN S K, SON E H, et al. Induction of secretory and tumoricidal activities in peritoneal macrophages by ginsan[J]. International immunopharmacology, 2002, 2(7):857 - 865.
- [15] TEDGUI A, MALLAT Z. Cytokines in atherosclerosis: Pathogenic and regulatory pathways [J]. Physiological reviews, 2006, 86(2):515-581.
- [16] 石榴. RNAi 沉默 NF KB p65 对小鼠巨噬细胞表达细胞因子的影响 [D]. 广州: 南方医科大学, 2009: 30-31.

(上接第145页)

水稻条纹叶枯病是一种由灰飞虱传播引起的病毒病,但 不同的水稻品种间病情差异仍然较大, 皖稻86、镇稻6号2 个发病高峰,水稻条纹叶枯病均发生较轻,田间抗性表现较 好;皖稻68在糯稻品种中田间抗性表现较好。

水稻条纹叶枯病药剂防治难度较大,必须采取"品种抗 病、栽培避病、治虫防病"的综合治理技术措施,才能有效地 控制水稻条纹叶枯病的发生危害。其中,大力推广种植抗病 的水稻品种尤为重要[6-8],建议在水稻条纹叶枯病重发区推 广种植皖稻86、镇稻6号、皖稻68(糯稻)。

[1] 檀根甲,李淼,江彤,等. 早稻品种对条纹叶枯病的田间抗性及病害侵

染梯度[J]. 植物保护,2010,36(5):113-117.

- [2] 周彤,周益军,程兆榜,等. 粳稻品种对水稻条纹叶枯病的抗性鉴定及 抗病品种镇稻 88 的遗传分析[J]. 植物保护学报,2007,34(5):475 -
- [3] 孙俊铭. 水稻条纹叶枯病发生规律及防治对策[J]. 安徽农业科学, 2006,34(17):4351-4352,4407.
- [4] 周彤,范永坚,程兆榜,等. 水稻品种条纹叶枯病抗性的研究进展[J]. 植物遗传资源学报,2009,10(2):328-333.
- [5] 孙俊铭, 韦刚, 张启高, 等. 早稻条纹叶枯病与灰飞虱关系及品种抗性 研究[J]. 安徽农学通报,2011,17(2):101,155.
- [6] 张玉江,苗洪芹. 谈防治水稻条纹叶枯病的体会[J]. 北方水稻,2007 (3):132-134.
- [7]潘长虹,马玉萍,孔令军,等. 水稻条纹叶枯病防治中应重视的问题及 对策[J]. 安徽农学通报,2005,11(2):50,57.
- [8] 史洪中,郭世保,陈俊华,等. 水稻条纹叶枯病成灾原因及其综合防治 技术[J]. 江西农业学报,2009,21(4):63-65.

科技论文写作规范——题名

以最恰当、最简明的词句反映论文、报告中的最重要的特定内容,题名应避免使用不常见的缩略语、首字母缩写词、字 🮖 符、代号和公式等。一般字数不超过 20 字。英文与中文应相吻合。英文题名词首字母大写,连词及冠词除外。